

Рис. 10 УДК: 533.6.011

Тыныбеков А.К.

КГУ им. И.Арабаева

## СИЛОВЫЕ ХАРАКТЕРИСТИКИ СВЕРХЗВУКОВЫХ ОТРЫВНЫХ ТЕЧЕНИЙ

*В статье предлагается полуэмпирический приближенный метод расчета силовой характеристики тел, имеющих на своей поверхности трехмерные выступы и двигающихся в воздухе со сверхзвуковой скоростью. Метод основан на использовании газодинамической схемы течения и универсальных зависимостей, полученных в результате длительного изучения основных физических закономерностей; взаимодействия трехмерного скачка уплотнения с турбулентным пограничным слоем и течения в трехмерных отрывных зонах, возникающих перед препятствиями различной формы.*

**Ключевые слова:** сверхзвуковой поток, отрывные течения, пограничный слой, силовые характеристики.

*Макалада абада өтө жогорку ылдамдык менен кыймылдаган жана үч өлчөмдүк уркуйган бети бар телонун күчтүк мүнөздөмөлөрүнүн жарым эмпирикалык жакындатылган эсептөө методу сунушталат. Метод агуунун газ-динамикалык схемасын пайдаланууга жана турбуленттүү катмардын чеги менен үч өлчөмдүү зоналардын аракеттерине негизделген.*

**Түйүндүү сөздөр.** *Өтө жогорку үндүү агым, үзгүлтүктүү агым, чектүү катмар, күчтүк мүнөздөмөлөр.*

*The paper proposes a semi-empirical approximate method of calculation of the power characteristic of bodies having on their surface three-dimensional projections and moving in the air at supersonic speed. The method is based on the use of gas-dynamic flow scheme and universal dependencies obtained as a result of a long study of the basic physical laws; the three-dimensional interaction of shock wave with a turbulent boundary layer and a flow in a three-dimensional separation zones, arising in front of obstacles of different shapes.*

**Key words:** *supersonic flow, separated flow, boundary layer, power characteristics.*

Физические особенности отрыва трехмерного пограничного слоя подробно изучены в /1-4/. Картина течения вблизи цилиндра, установленного на гладкой полуцилиндрической поверхности при умеренных числах Маха показано на рис. 1 цифрами 1-2-3-4-5 показана в плоскости симметрии система скачков уплотнения.  $S_1, S_2, S_3, S_4$  – линии отрыва пограничного слоя на цилиндре и поверхности;  $e$  – линия растекания струи газа, идущей из области повышенного давления на поверхности цилиндра за скачками 2-3; 2-4-5 – толщина пограничного слоя перед отрывом; стрелками показано направление течения вблизи поверхностей.

Экспериментальные исследования показали, что при обтекании сверхзвуковым потоком препятствий различной формы, установленных на поверхностях различной кривизны, вблизи препятствия в области взаимодействия скачка уплотнения с пограничным слоем и отрывного течения при наличии турбулентного пограничного слоя на теле имеется геометрическое и силовое подобие, которое может быть описано следующими универсальными зависимостями, справедливым при  $1,5 \leq M_\infty \leq 6$ .

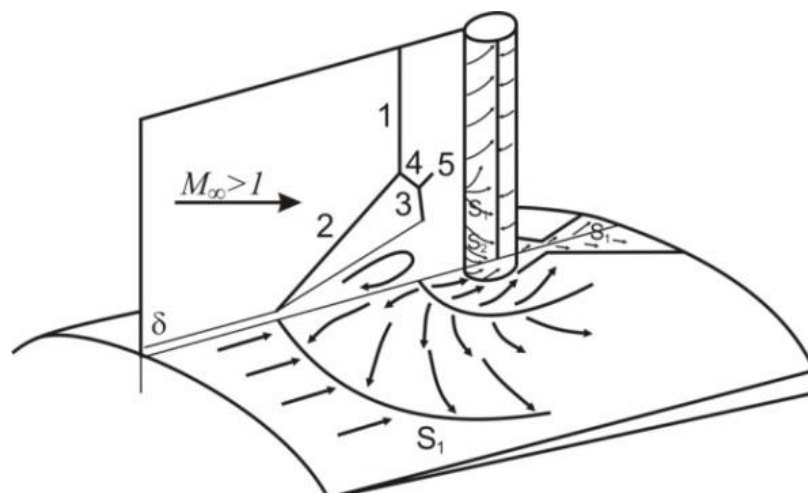


Рис. 1

1. Форму линии отрыва можно аппроксимировать выражением:

$$\frac{Y_S}{l_m} = \sqrt{\frac{X_S}{l_s}}, \quad (1)$$

при этом отношение характерной длины зоны отрыва  $l_s$  к ее ширине  $l_m$  постоянно и равно:

$$\frac{l_s}{l_m} = 0,5. \quad (2)$$

Эти соотношения не зависят от числа Маха.

2. Длина зоны отрыва перед препятствием, высота которого больше некоторой предельной высоты, прямо пропорциональна диаметру (ширине) препятствия и равна:

$$l_s^* = kd, \quad (3)$$

где коэффициент  $k$  является функцией Маха.

3. Для препятствий, высота которых меньше предельной, связь между длиной зоны отрыва, высотой препятствия  $h$  и его диаметром  $d$  может быть выражена соотношением

$$\frac{l_s}{l_s^*} = \frac{h/d}{\sqrt{(h/d)^2 + 2,6(M - 2,9)^2 + 0,5}}, \quad (4)$$

где  $l_s^*$  берется при том же  $M$ , но при  $h \geq h_{пред}$ .

1. Зависимость длины зоны отрыва  $l_s^*$  для  $h > h_{пред}$  может быть представлена в виде

$$\frac{d}{l_s^*} = \frac{(M^2 - 1)^{0,25}}{3,74M^{1,5} - 8,8M + 10,3}. \quad (5)$$

2. Влияние угла наклона препятствия можно приближенно учесть формулой

$$\frac{l_s}{l_s^*} = 1,335 \cos^2 \left( \alpha + \frac{\pi}{6} \right), \quad (6)$$

здесь  $l_s^*$  при  $\alpha = 0^\circ$ . Угол отсчитывается от нормали к поверхности тела по часовой

стрелке. Направление потока – слева направо. Это соотношение получено при исследовании обтекания параллелепипеда и цилиндра при  $-60^\circ \leq \alpha \leq 60^\circ$  и  $M = 3$ . В дальнейшем мы принимаем, что это соотношение не зависит от числа Маха.

6. Анализ распределения давления перед препятствием, вид изобарических кривых и независимость отношения координат характерных давлений к длине зоны отрыва от числа Маха и формы препятствия, подобие изученных кривых распределения давления вдоль линии симметрии перед препятствиями различной формы и на его поверхности [3, 14, 15, 17, 62] позволяют утверждать, что вблизи препятствия и на его поверхности наблюдается не только геометрическое, но и силовое подобие.

7. Как показали эксперименты число Рейнольдса при турбулентном пограничном слое и поперечная кривизна поверхности тела мало влияют на характерную длину зоны отрыва, поэтому в дальнейшем учет этих параметров не производится. Не учитывается также и влияние толщины пограничного слоя. Хотя толщина пограничного слоя перед отрывом существенно влияет на характерную длину зоны отрыва и распределение давления в ней, особенно при высоте и ширине препятствия, соизмеримых с толщиной пограничного слоя, однако авторы не располагают достаточными сведениями для получения универсальных зависимостей с ее учетом.

1. Рассчитаем коэффициент подъемной силы  $C_y$ . Для вычисления области возмущенного течения вблизи препятствия воспользуемся соотношениями (1)–(6) и аппроксимируем кривую распределения давления, учитывая замечание 7, приведенное выше. Кривая распределения давления вдоль линии симметрии показана на рис. 2. Разобьем ее на несколько характерных участков. Первый участок возрастания давления от  $P_1$  до  $P_2$  соответствует области взаимодействия скачка уплотнения с пограничным слоем, второй участок от  $P_2$  до  $P_5$  ( $P_{min}$ ) – участку торможения возвратного отрывного течения, третий участок от  $P_5$  до  $P_6$  ( $P_{max}$ ) – разгону струи газа от линии растекания до линии максимальной скорости и, наконец, четвертый от  $P_6$  до  $P_7$  – возвратному течению, направленному от линии растекания к основанию препятствия.

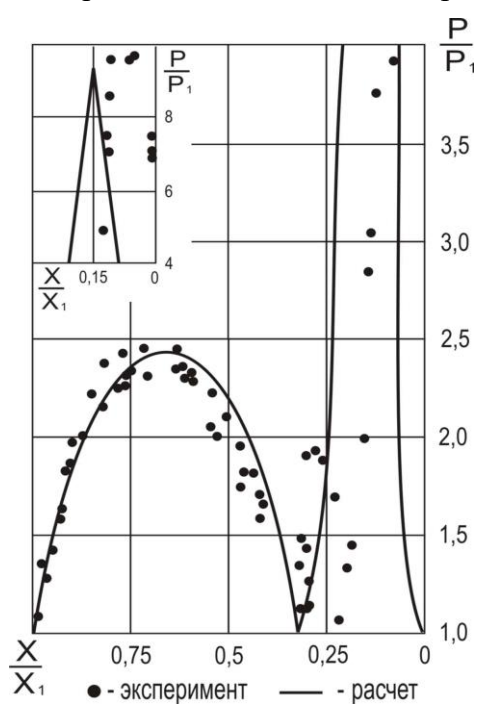


Рис.2

Из [3, 15, 17] следует, что давление  $P_2$  определяется только локальными параметрами взаимодействия скачка уплотнения с пограничным слоем и не зависит от формы препятствия, течения в отрывной зоне и т.д. Г.И. Петровым и др. показано, что для плоского случая  $P_2/P_1$  определяется простым соотношением

$$\frac{P_2}{P_1} = 0,287 + 0,713M . \quad (7)$$

Вообще говоря, для трехмерного случая необходимо сделать поправку в виде некоторой отрицательной величины, зависящей от кривизны линии отрыва в данной точке [ ]. Однако эта поправка мала, поэтому в дальнейшем для определения  $P_2$  будем пользоваться соотношением (7).

Далее, кривую давления на первом и втором участках можно аппроксимировать симметричной кривой, которая задается соотношением:

$$\frac{P - P_1}{P_2 - P_1} = f\left(\frac{X - X_1}{X_2 - X_1}\right) \text{ или } \bar{P}_1 = f(\bar{X}_1), \quad (8)$$

где  $X_1$  или  $X_2$  – координаты точек с давлениями  $P_2$  и  $P_1$ . Если обозначить, где  $X_2 = X_1 = r_{1\max}$ , а начало координат сместить в точку  $X = X_2$ , то кривая (2.5.8) будет иметь вид

$$\frac{P}{P_1} = 1 + \left(\frac{P_2}{P_1} - 1\right) \left[1 - \left(\frac{r}{r_{1\max}}\right)^2\right]. \quad (9)$$

Аналогично можно поступить с кривой распределения давления на третьем и четвертом участках. Однако здесь  $X_6$  расположено близко к основанию препятствия, поэтому экспериментально трудно определить эту координату. Здесь принято, что  $X_6 = X_5/2$ . Кривая так же задается в виде:

$$\frac{P - P_5}{P_6 - P_5} = f\left(\frac{X - X_5}{X_6 - X_5}\right) \text{ или } \bar{P}_2 = f(\bar{X}_2), \quad (10)$$

$$\frac{P}{P_1} = 1 + \left(\frac{P_2}{P_1} - 1\right) \left[1 - \left(\frac{r}{r_{1\max}}\right)^2\right], \quad (11)$$

где  $X_5 - X = r$ ,  $X_5 - X_6 = r_{2\max}$ .

Вид обеих кривых (8) и (10), определенных по экспериментальным данным, показан на рис.3. Начало координат находится в точке  $X = X_6$ . При определении характерных давлений считаем, что  $P_5 \approx P_1$ , а  $P_6$  находим по эмпирической формуле

$$\frac{P_6}{P_{03}} = 0,5 \frac{l_s}{l_s^*}, \quad (12)$$

где  $P_{03}$  – расчетная величина полного давления, которое получается при данном числе Маха за плоской системой скачков 2 и 3 (рис.1). Коэффициент 0,5 в формуле (12) введен для учета потерь полного давления в высоконапорной струе, возникающих за счет ее перемешивания с окружающим газом и растекания в боковых направлениях. Соотношение  $l_s/l_s^*$  также частично учитывает растекание высоконапорного газа в боковых направлениях при изменении высоты и диаметра препятствия.

Распределение давления за цилиндром считается постоянным и равным

$$\frac{P}{P_1} = \frac{1}{2} \left[ \frac{P_g}{P_1} - 1 \right],$$

где  $P_g$  – давление в застойной зоне за цилиндрическим препятствием считается зависимым только от числа  $M$  и задается формулой

$$\frac{P_g}{P_1} = 1 - 0,0535(1 + 2,53M - 0,156M^2), \quad (13)$$

полученной в работе /2-4 / на основе обработки экспериментальных данных различных авторов, исследовавших донные течения за телами в сверхзвуковом потоке. Таким образом, число Маха влияет на вид кривой распределения давления через величины  $P_2$  и  $P_{03}$ , а также через величины  $l_s$  и  $l_s^*$ ; форма препятствия неявно входит через отношение  $l_s/l_s^*$ .

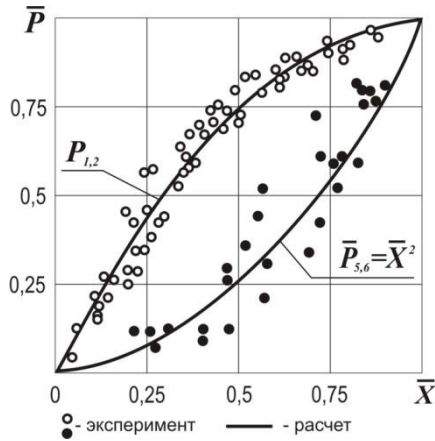


Рис. 3

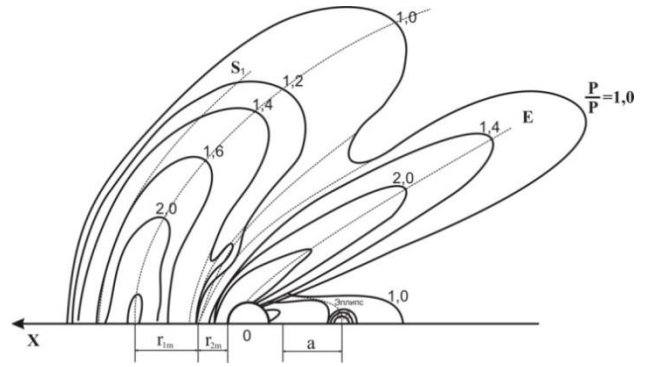


Рис. 4

Распределения давления вблизи препятствия, т.е. поле изобарических кривых, аппроксимируется некоторыми вложенными друг в друга подобными кривыми, давление вдоль которых постоянно и равно известному давлению в точках, лежащих на линии симметрии. Все поле изобарических кривых разбивается на три семейства: первое семейство опирается на участок от  $X_1$  до  $X_5$ , второе – на участок от  $X_5$  до 0, третье описывает донную часть. В связи с тем, что в донной части давления мало, она описывается площадью в виде эллипса, давление в каждой точке внутри которого постоянно (рис. 4).

Для описания первого и второго семейства введем криволинейную систему координат с центрами в точках  $X = X_2$  и  $X = X_6$ , расположенных на оси симметрии, ось  $\eta$  направим по параболической кривой, уравнение которой в прямолинейной системе координат имеет вид, подобный уравнению линии отрыва. Ось  $\xi$  направлена по нормали к оси  $\eta$  в каждой ее точке (рис. 4). В этой системе координат удобно аппроксимировать первое и второе семейство изобарических кривых эллипсами, уравнение которых записывается в виде

$$\left(\frac{\bar{\eta}}{\eta_{\max}}\right)^2 + \left(\frac{\bar{\xi}}{r_{\max}}\right)^2 = 1, \quad (14)$$

где  $\bar{\xi} = \frac{\xi}{l_s}$ ,  $\bar{\eta} = \frac{\eta}{l_s}$ , или, если ввести обозначение  $r_{\max} / \eta_{\max} = \varepsilon$  – эксцентриситет

эллипса, то его уравнение будет  $(\varepsilon \bar{\eta})^2 + \bar{\xi}^2 = \bar{r}_{\max}^2$ , где  $\bar{\eta}_{\max}$  – максимальная координата для изобары  $\bar{P} = 1$  или  $\bar{\xi} = 0$ .

Запишем выражение для суммарной силы, действующей на поверхность, в виде  $T = T_1 + T_2$ , где  $T_1 = 2 \iint_{S_1} P dS$ ;  $T_2 = 2 \iint_{S_2} P dS$ .

Уравнение изобары в общем виде можно записать  $r_i = \Phi_i(\xi, \eta) = const$ , где для первого семейства  $i = 1$  и второго  $i = 2$ . Введем безразмерные координаты:

$$\bar{\xi} = \frac{\xi}{r_m} = \frac{\xi}{l_s} \cdot \frac{l_s}{r_m}; \quad \bar{\eta} = \frac{\eta}{\eta_m} = \frac{\eta}{l_s} \cdot \frac{l_s}{\eta_m}; \quad \bar{P} = \frac{P}{P_1}$$

Тогда сила  $T_i$  равна:

$$T_i = 2 \bar{r}_{mi} \bar{\eta}_{mi} P_1 l_s^2 \iint_{\Phi_i(\bar{\xi}, \bar{\eta}) = \bar{r}_{mi}} \bar{P}(\bar{r}) d\bar{\xi} d\bar{\eta},$$

где  $\bar{r}_{mi} = \frac{r_{mi}}{l_s}$ ;  $\bar{\eta}_{mi} = \frac{\eta_{mi}}{l_s}$  – соответственно максимальные размеры площади и изобарической кривой для  $\bar{P} = 1$  вдоль осей  $x$  и  $\eta$ .

В дальнейшем черточки над безразмерными параметрами опускаем. Перейдем к цилиндрическим координатам  $(r, \varphi)$  с центрами в точках  $x_2$  и  $x_6$ . В этой системе сила запишется:

$$T_i = 2P_1 r_{mi} \eta_{mi} l_s^2 \int_0^1 \int_{\varphi_1}^{\varphi_2} P(r) \frac{D(\xi, \eta)}{D(r, \varphi)} dr d\varphi = 2P_1 r_{mi} \eta_{mi} l_s^2 \int_0^1 P(r) \left[ \int_{\varphi_1}^{\varphi_2} \frac{D(\xi, \eta)}{D(r, \varphi)} d\varphi \right] dr =$$

$$= 4P_1 r_{mi} \eta_{mi} l_s^2 \int_0^1 P(r) \cdot \left[ \frac{\partial}{\partial r} \int_0^1 \left( \int_{\varphi_1}^{\varphi_2} \frac{D(\xi, \eta)}{D(r, \varphi)} d\varphi \right) dr \right] dr. \quad (15)$$

Переходя во внутреннем интеграле к старой системе координат  $\xi, \eta$ , получим:

$$T_i = 4P_1 r_{mi} \eta_{mi} l_s^2 \int_0^1 P(r) \left[ \frac{\partial}{\partial r} \iint_{\Phi(\xi, \eta)=r} d\xi d\eta \right] dr.$$

Т.к.  $\iint_{\Phi(\xi, \eta)=r} d\xi d\eta = S(r)$  – площадь изобарических кривых, то окончательно получаем:

$$T_i = 4P_1 r_{mi} \eta_{mi} l_s^2 \int_0^1 \frac{dS(r)}{dr} P(r) dr \text{ или, интегрируя по частям,}$$

$$T_i = 4P_1 r_{mi} \eta_{mi} l_s^2 \left[ P(r) S(r) \Big|_0^1 - \int_0^1 S(r) \frac{dP(r)}{dr} dr \right].$$

Заметим, что для избыточной силы  $P(r) S(r) \Big|_0^1 = 0$ , т.к. при  $r = 0$   $S(0) = 0$ , а при  $r = 1$   $P_{изб.(1)} = 0$ . Поэтому окончательно для избыточной силы имеем

$$\Delta T_i = -4P_1 r_{mi} \eta_{mi} l_s^2 \int_0^1 S(r) \frac{dP(r)}{dr} dr.$$

Для вычисления интеграла необходимо знать функцию  $S(r)$ , т.е. зависимость, связывающую текущее значение радиуса  $r$  с площадью, ограниченной кривой с постоянным давлением вдоль нее.

В силу подобия геометрической зоны отрывного течения и подобия в распределении давления в ней все экспериментальные точки лежат вблизи единых кривых, которые могут быть аппроксимированы степенными зависимостями  $S_1 = k_1 r_1^n = 3,1r_1^4$  и  $S_2 = k_2 r_2^n = 2,75r_2^{5,5}$ .

Функция  $\frac{dP(r)}{dr}$  определяется путем дифференциального соотношения и для первого семейства имеет вид:

$$\frac{dP(r)}{dr} = -2r(P_2 - 1).$$

$$\text{Вычислим силу } \Delta T_1 = 8P_1 r_{m1} \eta_{m1} (P_2 - 1) l_s^2 \int_0^1 k_1 r^{n_1+1} dr = \frac{8k_1 P_1 r_{m2} \eta_{m1} l_s^2}{n_1 + 2} (P_2 - 1).$$

Аналогично для второго семейства, учитывая  $\frac{dP}{dr} = -2(P_6 - 1)(1 - r)$ , получаем

$$\Delta T_2 = 8P_1 r_{m2} \eta_{m2} l_s^2 \int_0^1 k_2 (P_6 - 1) r^{n_2} (1 - r) dr = \frac{8k_{21} P_1 r_{m2} \eta_{2i} l_s^2}{(n_1 + 2)(n_2 + 1)} (P_2 - 1). \quad (16)$$

В выражение для силы  $\Delta T_1$  и  $\Delta T_2$  входят так же, как и в первом способе, неизвестные константы  $\eta_{m1}$  и  $\eta_{m2}$ . Они определяются путем сравнения сил расчетных и полученных по данным распределения давления, вблизи цилиндра с  $d = 14$  мм и  $h = \infty$ , обтекания

сверхзвуковым потоком с  $M_1 = 3$ . Эти величины равны  $\eta_{m1} = 1, \eta_{m2} = 9,26$ . В дальнейшем в силу гипотезы о подобии размера области отрывного течения величины  $k_i, n_i, \eta_{mi}$  полагались постоянными во всех расчетах. Общая избыточная сила, действующая на поверхность, складывалась из трех сил:  $\Delta T = \Delta T_1 + \Delta T_2 + \Delta T_g$ .

Величины  $\Delta T_1$  и  $\Delta T_2$  вычислены; сила  $\Delta T_g = \iint_{S_g} P_g dS$ . Площадь, занимаемую донным течением, примем как эллипс (рис.4). Ее кривизна в передней точке равна кривизне препятствия, в данном случае кривизне цилиндра. Эксцентриситет эллипса  $E_g = \sqrt{d/2a}$ , где  $a$  – большая полуось эллипса. Величина  $a$  определялась как половина расстояния между передней точкой цилиндра и положением максимального давления в донной части. Отношение  $a = x_n/2$  к длине зоны отрыва есть величина постоянная и равная  $a/l_s = 0,6$ . Величина площади донной части равна:

$$S_g = \pi \left( \frac{d^2}{E_g} - \frac{d^2}{4} \right); \quad (17)$$

сила: 
$$\Delta T_g = P_g S_g = \frac{\pi}{2} l_s^2 P_1 (P_g - 1) \left[ \left( \frac{2a_s^2}{d_s} \right) - \frac{d^2}{4} \right], \quad (18)$$

где  $d_s = d/l_s$ , которая определена соотношением (2.5.2),  $a_s = a/l_s$ ,  $P_g$  – вычислена по формуле (13).

Для вычисления аэродинамического коэффициента  $C_y$  необходимо ввести характерную площадь, к которой будет отнесена суммарная сила  $\Delta T$ . За характерную площадь целесообразно принять площадь, ограниченную линией отрыва пограничного слоя  $S$  и линией, перпендикулярной к оси  $x$  и проходящей через переднюю точку цилиндра.

Эта площадь  $S^* = 2 \int_0^{l_s} y dx$  или в безразмерных координатах  $x_s = x/l_s; y_s = y/l_s$ ;

$$S^* = 2 \int_0^1 l_m l_s \bar{y}_s d\bar{x}_s = 2 l_m l_s \int_0^1 \sqrt{x_s} d\bar{x}_s = \frac{4}{3} \frac{l_m}{l_s} l_s^2 \text{ или, т.к. } l_m/l_s = 2, \text{ то } S^* = \frac{8}{3} l_s^2.$$

Аэродинамический коэффициент подъемной силы  $C_y$  равен:

$$C_y = \frac{\Delta T}{q S^*}, \text{ где } q = \rho \frac{V^2}{2} = \frac{\rho}{2} P_1 M_1^2 \text{ или } C_y = \frac{\Delta T}{\frac{\rho}{2} P_1 M_1^2 \frac{4}{3} \frac{l_m}{l_s} l_s^2}.$$

В заключение приведем общую формулу для вычисления  $C_y$ :

$$C_y = \frac{1}{\frac{2}{3} \frac{\rho}{\rho_0} \frac{l_m}{l_s} M^2} \left\{ \frac{8k_1 \eta_{m1} r_{m1}}{(n+2)} (P_2 - 1) + \frac{8k_2 \eta_{m2} r_{m2}}{(n_2+1)(n_2+2)} \left( 0,5 \frac{l_s}{l_s^*} P_{03} - 1 \right) + \frac{\pi}{2} (P_g - 1) \left[ \left( \frac{2a_s^3}{d_s} \right)^{1/2} - \frac{d_s^2}{4} \right] \right\}. \quad (19)$$

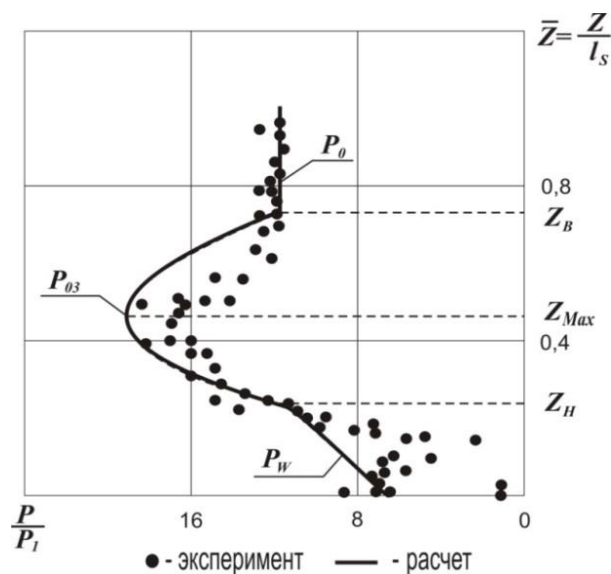


Рис.5

Рассчитаем коэффициент сопротивления  $C_x$ . Его расчет, так же как и расчет  $C_y$ , построен на использовании некоторых универсальных зависимостей, аппроксимации кривой распределения давления на поверхности препятствия (в частности, цилиндра) и на гипотезе о подобии размеров области возмущенного течения и распределения давления в ней. Кривая распределения давления по передней образующей препятствия при  $h > h_{пред}$  показана на рис.5. На графике отмечены характерные давления и их координаты, сплошной линией показана приближенная кривая, выражение которой записывается в виде:

$$\begin{aligned} \text{для } 0 < Z \leq Z_H & \quad P(0, Z) = P_w + (P'_0 - P_w)(Z / Z_H), \\ \text{давление на стенке} & \quad P_w = \left[ 0,37 - 0,32(l_s / l_s^* - 1)^2 \right] P_{03}, \\ \text{для } Z_H \leq Z \leq Z_B & \quad P(0, Z) = (P_{03} - P'_0) \cos(kZ - \alpha_o) + P'_0, \\ \text{для } Z_B \leq Z < \infty & \quad P(0, Z) = P'_0. \end{aligned}$$

Здесь  $P'_0$  – полное давление за прямым скачком уплотнения,  $P_{03}$  – полное давление за системой скачков косої плюс прямой (скачки 2 и 3 на рис. 1). Экспериментальные точки соответствуют препятствиям различной формы.

Координаты  $Z_H$  и  $Z_m$  определяются, согласно схеме течения (рис.1), как

$$Z_H = l_s \operatorname{tg} \delta; \quad Z_m = (l_s - \Delta) \operatorname{tg} \varepsilon, \quad (20)$$

где  $\delta$  – угол наклона верхней границы отрывной зоны;  $\varepsilon$  – угол наклона скачка 2;  $\Delta$  – величина отхода ударной волны (рис. 2). В расчете используются величины  $\delta$  и  $\varepsilon$ , полученные с применением соотношения (7) к скачку 2.

Величина отхода ударной волны  $\Delta$  может быть рассчитана теоретически или определена из эмпирической формулы, взятой из работы []

$$\Delta = 0,38 + 2,4(M_\infty^2 - 1)^{-2} + 1,4(M_\infty^2 - 1)^{-2}. \quad (21)$$

Коэффициенты  $k$  и  $\alpha_o$ , входящие в выражение для аппроксимации кривой давления, определяются как  $k = \frac{\pi}{2} \frac{1}{Z_m - Z_H}$  и  $\alpha_o = \frac{\pi}{2} \frac{Z_m}{Z_m - Z_H}$ .

При использовании кривой распределения давления предполагается, что в силу



гипотезы подобия, которая хорошо подтверждается экспериментально, вид кривой  $P/P_1 = f(Z/l_s)$  для  $M = Const$  и  $h > h_{прео}$  не зависит от вида препятствия, на оставшейся его части вид кривой распределения давления не изменяется. И, наконец, участок нижней кривой при  $0 < Z \leq Z_H$  аппроксимируется линейно. Зависимость  $P_{0W} = f(l_s/l_s^*)$  берется из эксперимента

$$P_W = \left[ -0,32 \left( \frac{l_s}{l_s^*} - 1 \right)^2 + 0,37 \right] P_{03}. \quad (22)$$

Для вычисления полной силы, действующей на препятствие (в данном случае на цилиндр), необходимо дать распределение давления по всей поверхности цилиндра. Как показали эксперименты [], для этого можно предложить гипотезу плоских сечений, согласно которой вид кривой распределения давления  $P_\varphi / P_{\varphi=0} = f(\varphi)$ , где  $\varphi$  – угол отсчета от передней кромки в каждом сечении цилиндра с плоскостью, параллельной пластине, одинаков и не зависит от  $Z$ .  $f(\varphi)$  можно представить в виде

$$\frac{P(\varphi)}{P(0)} = F(\varphi) + [1 - F(\varphi)] \frac{P_g}{P(0)},$$

где

$$F(\varphi) = \begin{cases} \cos^2 \varphi & 0 \leq \varphi \leq \frac{\pi}{4} \\ \frac{1}{1 + e^{4\left(\frac{\varphi - \pi}{4}\right)}} & \frac{\pi}{4} \leq \varphi \leq \pi \end{cases}. \quad (23)$$

Как показали эксперименты и результаты работ [], функция  $F(\varphi)$  слабо зависит от числа Маха и имеет при  $\varphi = \pi/4$  непрерывную первую и вторую производные.

Итак, суммарная сила, действующая на цилиндр в направлении оси  $X$ , будет равна

$$T_X = \iint_{S_y} P(\varphi, Z) \cos \varphi dS dZ, \quad (24)$$

где  $dS$  – элемент дуги, равный  $dS = (d/2)d\varphi$ ;  $S_y$  – площадь боковой поверхности цилиндра. Введя безразмерные координаты  $\bar{P} = P/P_1$ ;  $\bar{Z} = Z/l_s$ ;  $\bar{S} = S/l = (d/2l_s)dx = (d/2)d\varphi$ , подставляя в интеграл для силы аппроксимацию для  $P(0, Z)$ , опуская черточки над буквами и деля выражение силы на характерную площадь миделя  $S_m^* = l_s^2 d_s Z$ , получим выражение для коэффициента  $C_X$  для препятствий разной высоты, а именно: для высот, удовлетворяющих неравенству  $0 < Z < Z_H$

$$C_X = \frac{2D}{\aleph M_\infty^2} \left[ (P'_0 - P'_W) \frac{Z}{2Z_H} + (P_W - P_g) \right]; \quad (25)$$

для высот  $0 < Z < Z_B$ ,  $Z > Z_H$

$$C_X = \frac{2D}{\aleph M_\infty^2 Z} \left[ (P'_0 - P'_g) Z - \frac{Z_H}{2} (P'_0 - P'_W) + \frac{4(P_{03} - P'_0)}{\pi} \cos \frac{\pi(Z + Z_H - 2Z_m)}{4(Z_m - Z_H)} \sin \frac{\pi(Z - Z_H)}{4(Z_m - Z_H)} \right]; \quad (26)$$

для высот  $0 < Z < \infty$ ,  $Z > Z_B$

$$C_X = \frac{2D}{\aleph M_\infty^2 Z} \left[ \frac{4(P_{03} - P'_0)}{\pi} (Z_m - Z_H) + (P'_0 - P'_g) Z - \frac{Z_H}{2} (P'_0 - P'_W) \right]; \quad (27)$$

$$D = \int_0^{\pi} F(\varphi) \cos \varphi d\varphi = \int_0^{\pi/4} \cos^3 \varphi d\varphi + \int_{\pi/4}^{\pi} \frac{\cos \varphi d\varphi}{1 + e^{4(\varphi - \pi/4)}},$$

где  $\aleph$  – адиабатическая постоянная.

Аэродинамические характеристики тел с наклонными препятствиями рассчитываются по аналогичным формулам с учетом влияния угла наклона на характерные размеры и величину давления. Эксперименты по исследованию зависимостей размеров зоны отрывного течения и распределения давления на препятствии показали, что координаты характерных давлений можно определить по формулам  $Z_{H\alpha} = Z_H \cos \alpha$ ;  $Z_{m\alpha} = Z_m \cos \alpha$ ;  $Z_{B\alpha} = Z_B \cos \alpha$ , где  $\alpha$  – угол наклона препятствия, отсчитываемый от вертикальной оси назад по потоку. Отношение же  $l_s / l_s^* = f(\alpha)$  задается соотношением (6), не зависящим от числа Маха. Полное давление  $P_{03}$  определяется из условий, что скачок 3 (рис. 1) параллелен передней кромке препятствия. Характерные давления  $P_{6\alpha}$  и  $P_{W\alpha}$  определяются по формулам

$$\frac{P_{6\alpha}}{P_1} = 0,5 \left( \frac{l_s}{l_s^*} \right)_\alpha \frac{P_{03}}{P_1}; \quad \frac{P_{W\alpha}}{P_1} = \left[ -0,32 \left( \frac{l_s}{l_s^*} \right)^2 + 0,37 \right] \frac{P_{03}}{P_1}. \quad (28)$$

При расчете распределения давления на поверхности будем считать, что гипотеза плоских сечений по-прежнему сохраняет свою силу, если рассматриваемая плоскость перпендикулярна оси препятствия, что дает возможность использовать зависимость  $P(\varphi)/P(0) = f(\varphi)$ , полученную для препятствий, установленных перпендикулярно поверхности.

Расчеты аэродинамических коэффициентов представлены на рис. 6–10.

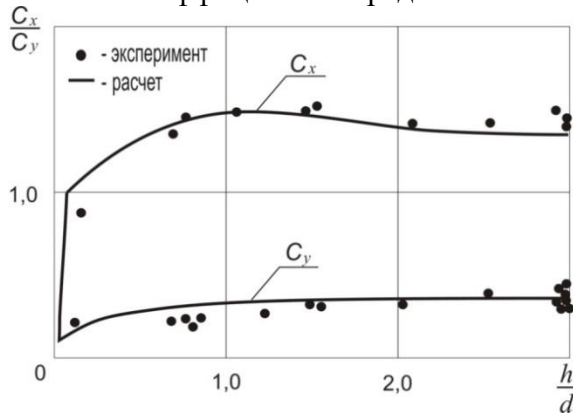


Рис. 6

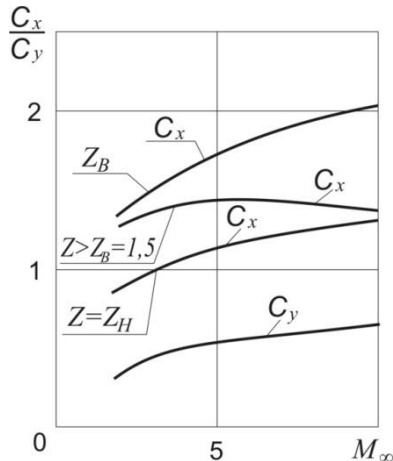


Рис.7

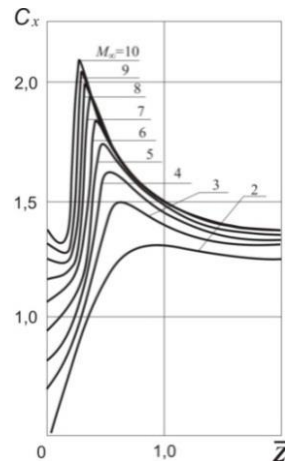


Рис.8

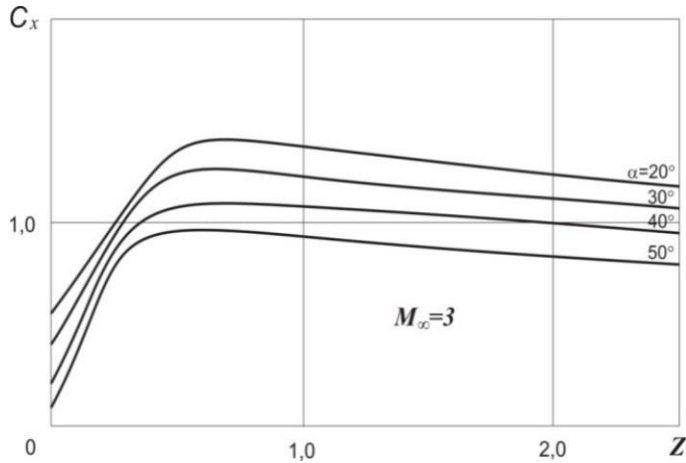
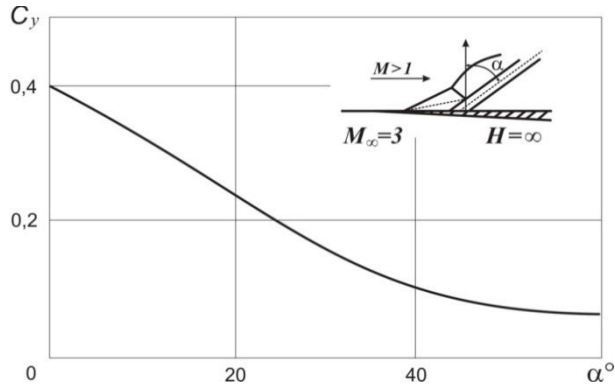


Рис. 9



На рис. 6 показаны результаты расчетов аэродинамических коэффициентов  $C_x$  и  $C_y$  для препятствий на пластине и дано сравнение с экспериментальными результатами, полученными при  $M = 2,78$  и  $M = 3$ . На рис. 7 показано влияние числа  $M_\infty$  на  $C_x$  и  $C_y$  при  $\alpha = 90^\circ$  и  $h > h_{пред}$ . На рис. 8 показана зависимость  $C_x$  от безразмерной высоты препятствия ( $Z/l_s$ ), подсчитанная для различных чисел Маха. Эти кривые имеют характерный максимум в точке максимального давления, которое наблюдается на передней образующей цилиндра. Влияние угла наклона  $\alpha$  на  $C_x$  и  $C_y$  показано на рис. 9 и 10. Расчеты проведены для  $M_\infty = 3$ . Здесь  $C_y$  подсчитан по суммированию сил на поверхности пластины.

**Литература:**

1. Туньбеков А.К., Зубков А.И., Глаголев А.И. Certain Integral Characteristics of Separation Zones arising in Supersonic Flows. Fluid Mechanics (Soviet Research). Vol. 15, #6, Nov-Dec. 1986. – p. 44–51.
2. Туньбеков А.К. The study of jet separated flows. -Bishkek, KRSU, 2007. p.146.
3. Туньбеков А.К. Jet streams in supersonic flow. -Bishkek, KRSU, 2009. p. 212.
4. Туньбеков А.К. Supersonic streams. -Bishkek, KRSU, 2012. p. 275.